

日本大学理工学部 正員 粟津清蔵
日本大学工学部 正員 ○木村喜代治

切欠きのあるせきに流量などが定常的に流れたとき、その直上流部に段丘が形成され、その法肩部の高さ、位置などに関する実験式を報告した。¹⁾ さてあれわれが完全に堆砂したダムを見ると通常は流量の少ない状態があり、このときには段丘は消え、堆砂面はダム頂面にほぼ一致し平坦な形状をなしている。流量、流砂量の定常的な動的平衡状態から流れを減少せしめていくときに、堆砂面や段丘がどのように変化するか、またせきより吐き出された流砂量の変化はどうなるかを前報までの結果を用いて検討し、併せて実験を行なった。更に前報までの研究結果の補足説明を加えた。

今回行なった実験は、せきの種類は長方形の切欠きを有するもので No.1 ($b = 5.94 \text{ cm}$)、No.2 ($b = 9.63 \text{ cm}$)、No.3 ($b = 14.9 \text{ cm}$) の 3 種、流量流砂量の組合せ A: ($Q = 7.88 \text{ l/s} Q_B = 4.88 \text{ cm}^3/s$)、B: ($Q = 5.00 \text{ l/s} Q_B = 3.09 \text{ cm}^3/s$)、C: ($Q = 2.31 \text{ l/s} Q_B = 1.43 \text{ cm}^3/s$) の 3 種、流量の変化の仕方は I、II の 2 種で計 18 種類である。この流量の変化は任意に変えられた装置が付いていないので、一つは流量調節バルブの

急閉と、もう一つはヘッドタンクへの汲上げポンプの停止とによつたもので、Q ~ t の関係は図-3 に表わした。動的平衡状態における直上流部の段丘法面の勾配は、水路の中央でやや急いで両岸部でやや緩いあるが、何れの実験でもほとんど同一で斜の空中における安息角と同じであった。

前報¹⁾で示したように

$f_{lb} = a \cdot l_b$ で、一定の切欠きにつけた a が一定であることは、Q の変化による法肩の軌跡は図-1

のようなくずれのように直線となる。これより

$$f_{lb}' = (\tan \theta - a) l \quad (1) \quad \text{とかく。} \quad Q \text{ の変化によつて段丘頂部の移動がこの直線に沿つて変化すゝものと}$$

図-1

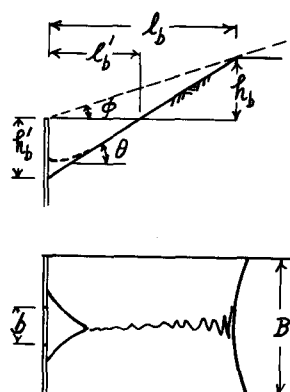


図-2

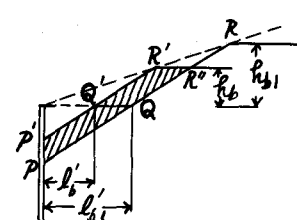
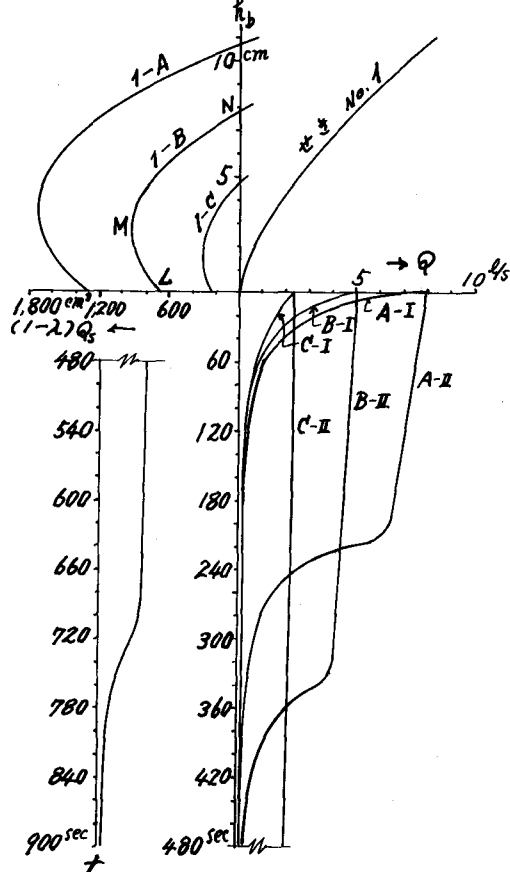


図-3



すると、 Q の減少により河床が前進し、これがによつて図-2の $P'R'R^*P$ の部分が埋まる。河床の線を直線と仮定し、最初の高さを $h_{b,1}$ とすと、この容積 Q_s は $Q_s = A_1 h_{b,1}^2 + A_2 h_{b,1} h_b - (A_1 + A_2) h_b^2$ …(2) ただし $A_1 = \frac{B}{2} \frac{(\tan\theta - \alpha)^2}{\alpha^2 \cdot \tan\theta}$ $A_2 = \frac{B C (\tan\theta - \alpha)}{\alpha \cdot \tan\theta}$ 。計算の例を図-3に示した。図のM点のよろな Q_s についての極大値の存在することがわかる。 h_b の値は $\frac{h_b}{h_{b,d}} = \frac{1}{C^{2/3}} - \frac{h_o}{h_{b,d}} (1 + \frac{1}{2} F_r^2)$ (3) で表わされるが、これによつて $\frac{dh_b}{dQ} > 0$ の条件(土砂調節作用の条件)を求めるに $\frac{1}{C^{2/3}} \cdot \frac{2}{n} > \frac{3}{5} \frac{h_o}{h_{b,d}} (1 + \frac{1}{2} F_r^2)$ として Manning の平均流速式を用いた。式(3)より計算した一例を図-3に示す。

時間的変動流を考慮し、河床付近の流砂量を Q_B' としダムを越す流砂量を Q_B'' とすと $Q_B'' = Q_B' - (L-1) \frac{dQ_B'}{dt}$ …(4)。

Q の変化に応じて h_b も直ちに変化し時間的遅れがないと仮定すると $\frac{dQ_B''}{dt} = \frac{dQ_B'}{dt} \cdot \frac{dh_b}{dQ} \cdot \frac{dQ_B}{dt}$ 流量の減少のとき $\frac{dQ}{dt} < 0$ 、また $\frac{dh_b}{dQ} > 0$ とすと、図-3のMNの例では $\frac{dQ_B''}{dt} < 0$ であるが $\frac{dQ_B}{dt} > 0$ 。 Q_B' は上流の勾配変化を受けない流量に応じた Q_B よりは大きい、しかし式(4)右辺第2項によつて Q_B'' と Q_B の大きさ関係は明確ではない。図-3のMLの例では $\frac{dQ_B}{dt} < 0$ とすと Q_B'' は Q_B より大きい。洪水のときのようなどとを考えると終りにおいては、流量に対応した Q_B より、ダムから吐出す流砂量が大きいと考えられる。ダムの直上流部に形成される深掘れは、中央部分よりも両岸取付部で最も深い。

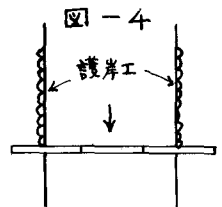
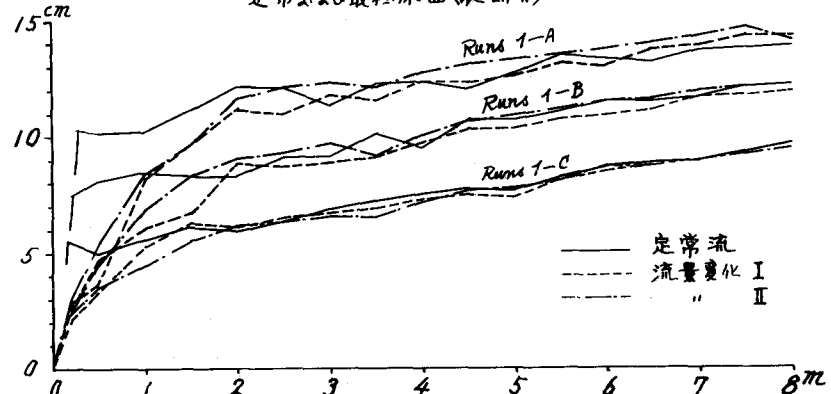
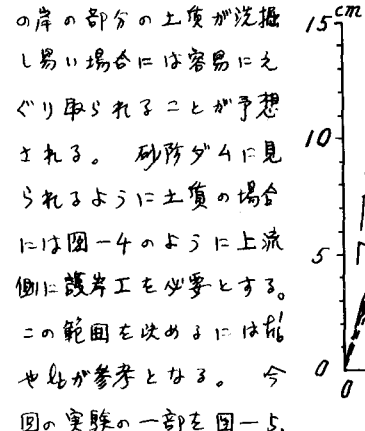


図-4

定常および最終床面縦断形



61不した。何れの場合も Q の減少とともに h_b は低下し、深掘れは埋まる。河床の変化は下流から始まり、やっくりと上流にまでいる。同じような流量変化に対する h_b の大きさほど低下のよぶ範囲は大きい。

この研究は文部省科学研究所(特定研究 責任者:井口昌平教授)による研究の一環である。

図-6 Runs 1-B-I, II における水面と床面の時間的変化

